

Statyczna teoria pływów

ostatnia aktualizacja
18 maja 2021

„...If I were asked to tell what I mean by the Tides I should feel it exceedingly difficult to answer the question...”

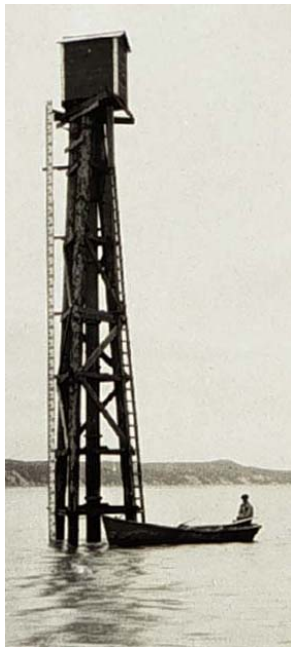
Lord Kelvin, 1882

„...If I were asked to tell what I mean by the Tides I should feel it exceedingly difficult to answer the question...”

Lord Kelvin, 1882

- ~~Wszelkie efekty powodowane przez ciała zewnętrzne~~
- ~~Zjawiska powodowane przez masy ciał zewnętrznych~~
- ~~Deformacje powodowane przez ciała zewnętrzne~~
- Efekty powodowane przez różnicowe grawitacyjne oddziaływanie ciał zewnętrznych

ODDYCHANIE ZIEMI



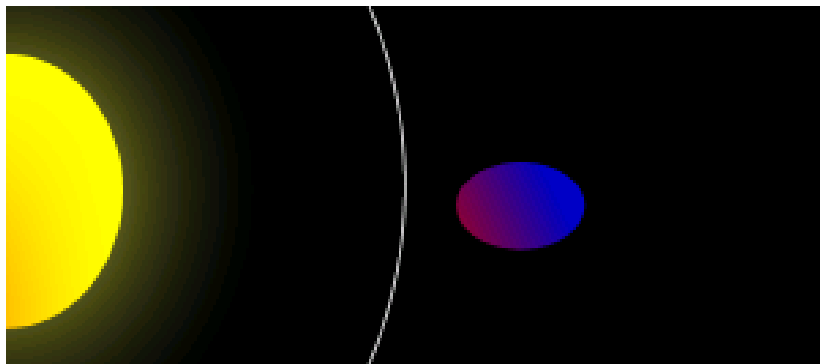
oceanservice.noaa.gov



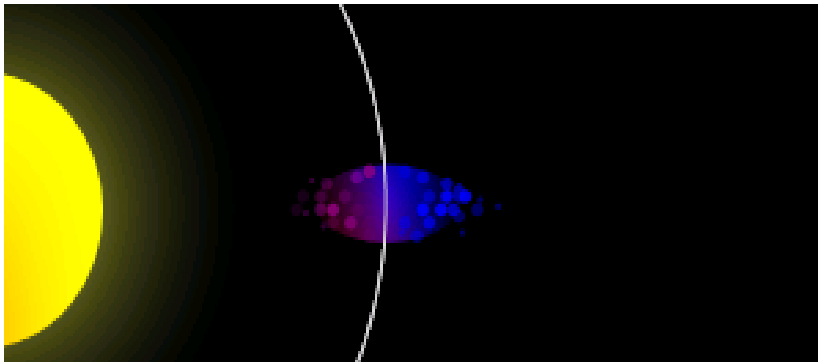
homepage.oma.be/mvc



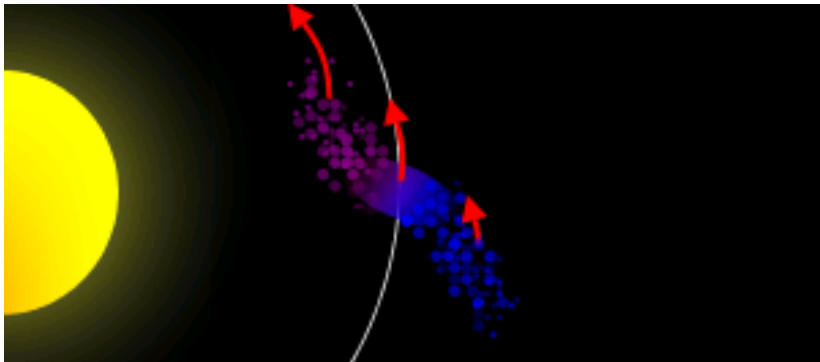
homepage.oma.be/mvc



pl.wikipedia.org



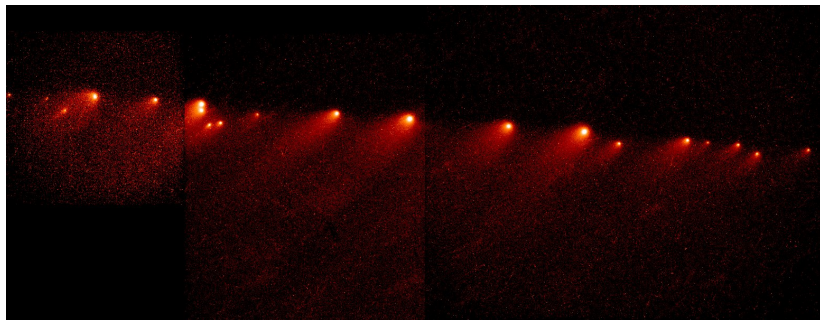
pl.wikipedia.org



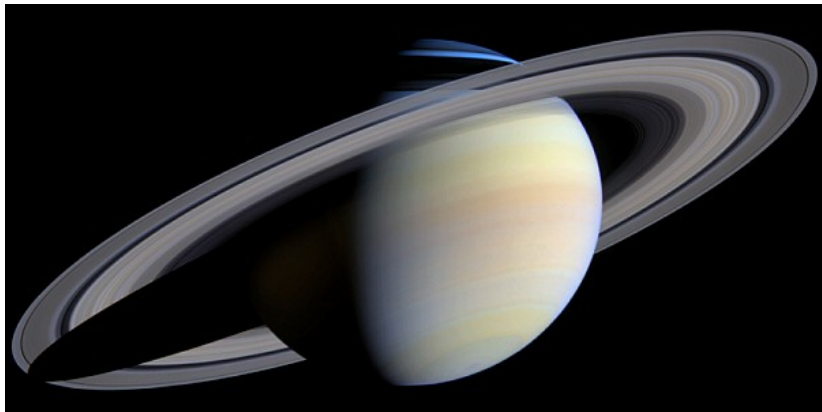
pl.wikipedia.org



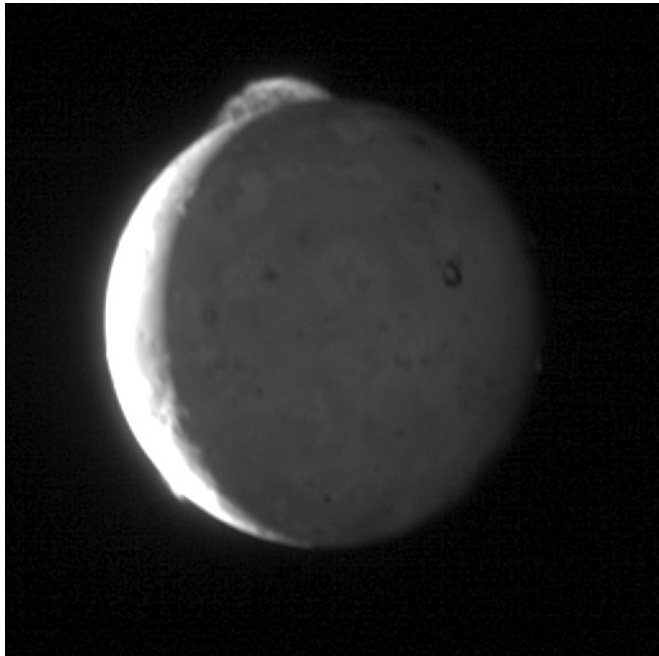
pl.wikipedia.org



pl.wikipedia.org



pl.wikipedia.org



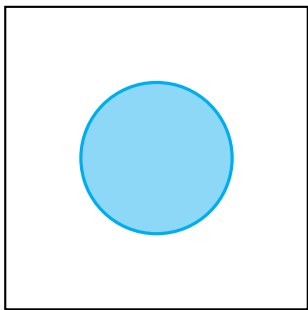
pl.wikipedia.org

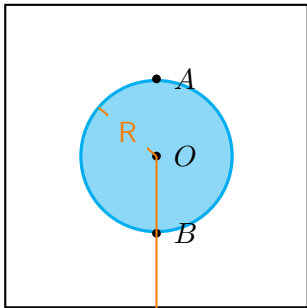


homepage.oma.be/mvc

Mniej spektakularne, również ciekawe i ważne:

- pływy skorupy ziemskiej
 - zmiany wysokości
 - zmiany siły ciężkości
 - zmiany kierunku linii pionu
 - zmiany długości, powierzchni, objętości
- pływy atmosfery
- pływowe zmiany prędkości obrotowej Ziemi
- pływowe zmiany orientacji Ziemi
- perturbacje SSZ
- „ciemna strona księżyca” i jego ucieczka
- efekty pośrednie pływów oceanicznych i atmosferycznych
- trzęsienia Ziemi
- . . .

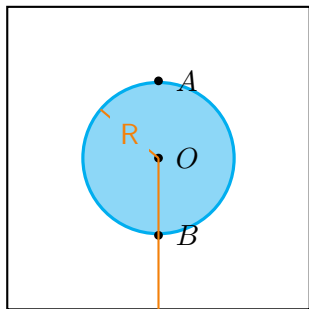




r

M

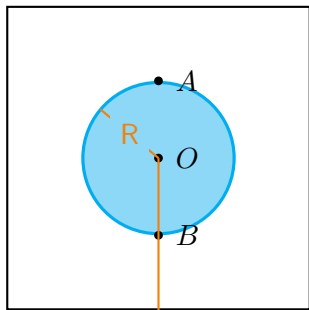




$$\gamma_O = \frac{GM}{r^2}$$

$$\gamma_A = \frac{GM}{(r+R)^2}$$

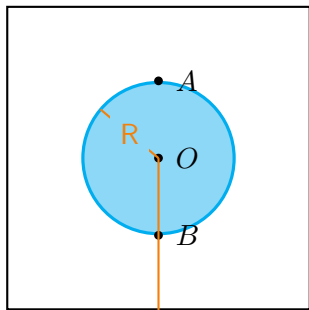
$$\gamma_B = \frac{GM}{(r-R)^2}$$



$$\gamma_O = \frac{GM}{r^2}$$

$$\gamma_A \simeq \gamma_O - \gamma_O \cdot \frac{2R}{r}$$

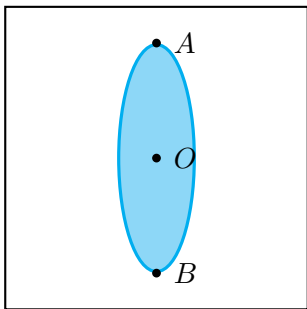
$$\gamma_B \simeq \gamma_O + \gamma_O \cdot \frac{2R}{r}$$



$$\gamma_O = \frac{GM}{r^2}$$

$$\gamma_A \simeq \gamma_O - \gamma_O \cdot \frac{2R}{r} \sim \frac{M \cdot R}{r^3}$$

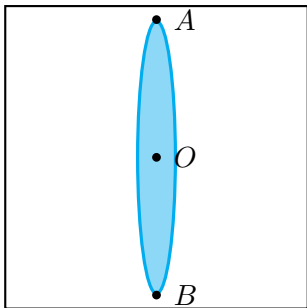
$$\gamma_B \simeq \gamma_O + \gamma_O \cdot \frac{2R}{r}$$



$$\gamma_O = \frac{GM}{r^2}$$

$$\gamma_A \simeq \gamma_O - \gamma_O \cdot \frac{2R}{r}$$

$$\gamma_B \simeq \gamma_O + \gamma_O \cdot \frac{2R}{r}$$



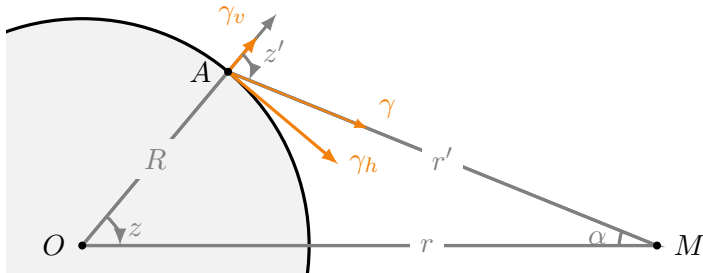
$$\gamma_O = \frac{GM}{r^2}$$

$$\gamma_A \simeq \gamma_O - \gamma_O \cdot \frac{2R}{r}$$

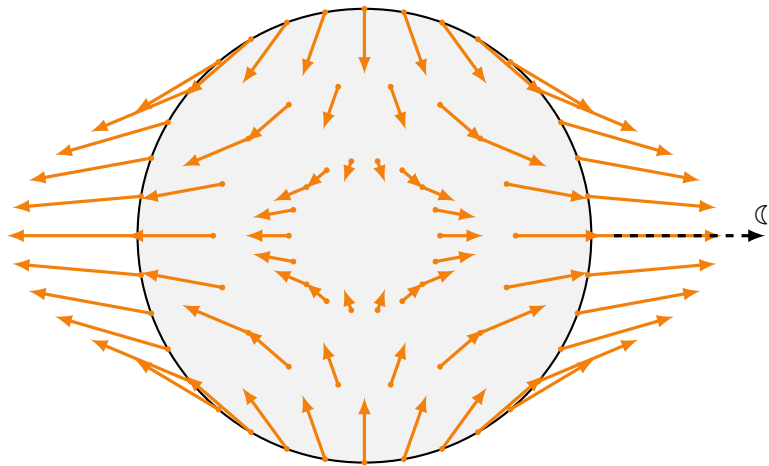
$$\gamma_B \simeq \gamma_O + \gamma_O \cdot \frac{2R}{r}$$

$$\gamma_v = \frac{GM}{r^2} \cdot \left(\cos z + \frac{R}{r} (3 \cos^2 z - 1) \right)$$

$$\gamma_h = \frac{GM}{r^2} \cdot \left(\sin z + \frac{R}{r} \left(\frac{3}{2} \sin 2z \right) \right)$$



Siła wypadkowa — γ



$$Vp = V_{\mathcal{C}} + V_{\odot} + v_{\text{♀}} + v_{\text{♂}} + v_{\text{♀}} + v_{\text{♂}} + \dots$$

\mathcal{C} 1

\odot 0,46

♀ 0,00005

♂ 0,000006

♂ 0,000001

$$\left\{ \begin{array}{l} V_2 = \frac{GmR^2}{r^3} \left(\frac{3}{2} \cos^2 z - \frac{1}{2} \right) \\ \cos z = \sin \varphi \sin \delta + \cos \varphi \cos \delta \cos(t) \end{array} \right.$$



$$V_2 = \frac{3 GmR^2}{4 r^3} \cdot \left[\begin{array}{l} 3(\sin^2 \varphi - \frac{1}{3})(\sin^2 \delta - \frac{1}{3}) \\ + \sin 2\varphi \sin 2\delta \cos t \\ + \cos^2 \varphi \cos^2 \delta \cos 2t \end{array} \right]$$

$$\begin{cases} V_2 = \frac{GmR^2}{r^3} \left(\frac{3}{2} \cos^2 z - \frac{1}{2} \right) \\ \cos z = \sin \varphi \sin \delta + \cos \varphi \cos \delta \cos(t) \end{cases}$$

$$V_2 = \frac{3}{4} \frac{GmR^2}{r^3} \cdot \left[\boxed{3(\sin^2 \varphi - \frac{1}{3})(\sin^2 \delta - \frac{1}{3})} \text{ wyraz strefowy} \right. \\ \left. + \sin 2\varphi \sin 2\delta \cos t \right. \\ \left. + \cos^2 \varphi \cos^2 \delta \cos 2t \right. \left. \right]$$

pływy długookresowe

$$\left\{ \begin{array}{l} V_2 = \frac{GmR^2}{r^3} \left(\frac{3}{2} \cos^2 z - \frac{1}{2} \right) \\ \cos z = \sin \varphi \sin \delta + \cos \varphi \cos \delta \cos(t) \end{array} \right.$$

$$V_2 = \frac{3}{4} \frac{GmR^2}{r^3} \cdot \left[3 \left(\sin^2 \varphi - \frac{1}{3} \right) \left(\sin^2 \delta - \frac{1}{3} \right) \right.$$

$$\left. + \sin 2\varphi \sin 2\delta \cos t \right] \text{ wyraz tesseralny } \\ \text{pływy dobowe}$$

$$+ \cos^2 \varphi \cos^2 \delta \cos 2t \quad]$$

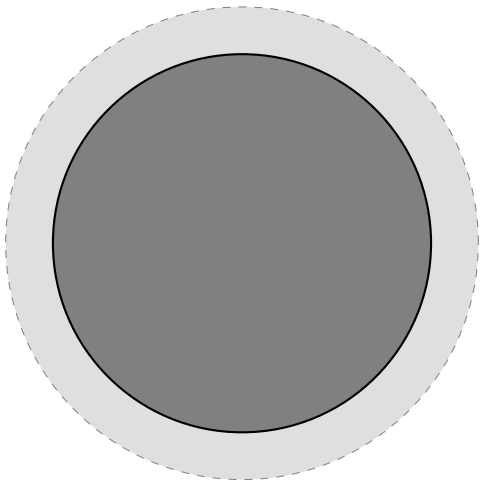
$$\left\{ \begin{array}{l} V_2 = \frac{GmR^2}{r^3} \left(\frac{3}{2} \cos^2 z - \frac{1}{2} \right) \\ \cos z = \sin \varphi \sin \delta + \cos \varphi \cos \delta \cos(t) \end{array} \right.$$

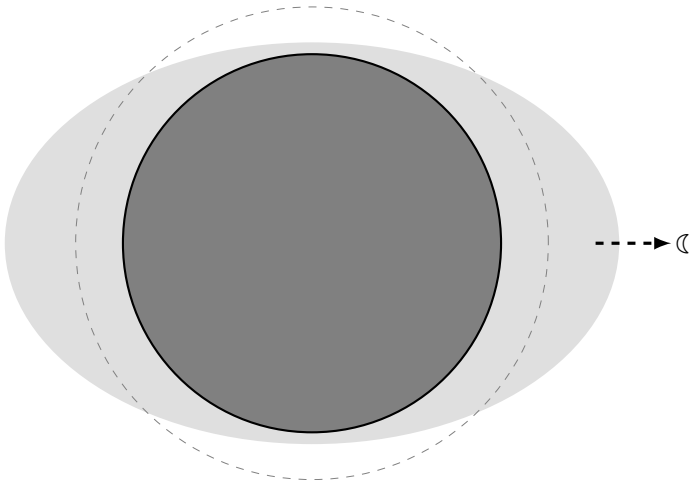
$$V_2 = \frac{3}{4} \frac{GmR^2}{r^3} \cdot \left[3 \left(\sin^2 \varphi - \frac{1}{3} \right) \left(\sin^2 \delta - \frac{1}{3} \right) \right.$$

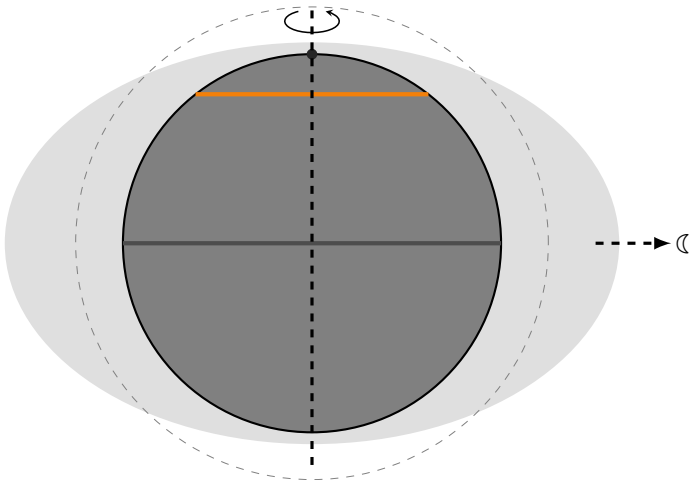
$$+ \sin 2\varphi \sin 2\delta \cos t$$

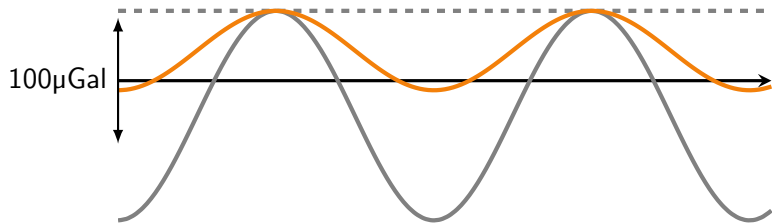
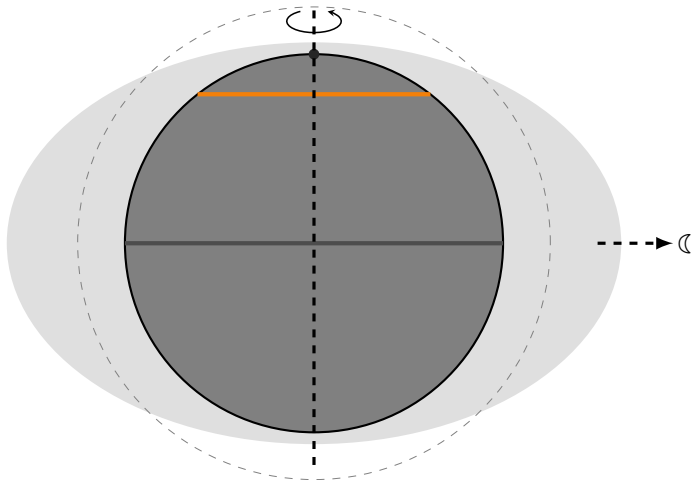
$$\left. + \cos^2 \varphi \cos^2 \delta \cos 2t \right]$$

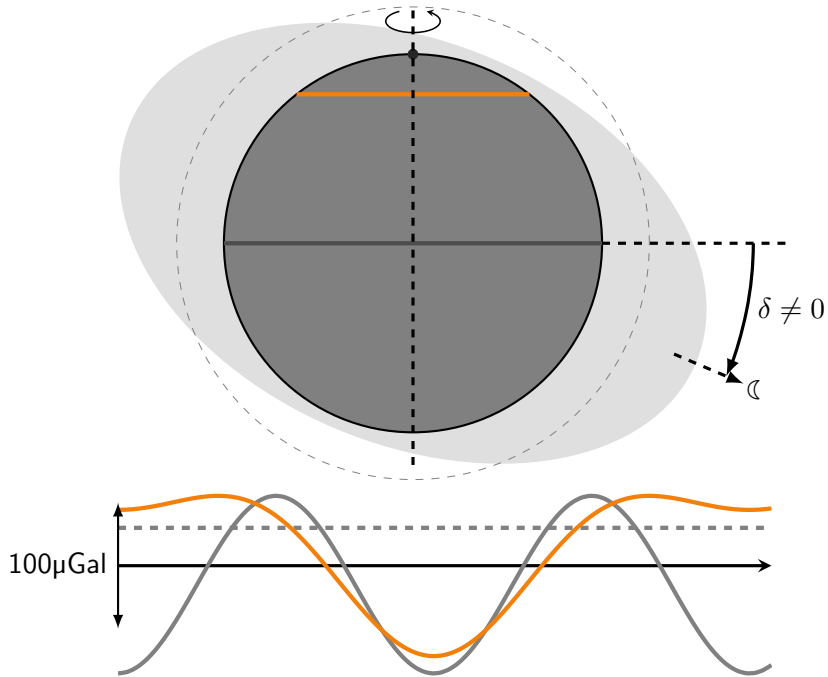
wyraz sektorowy
pływy pół-dobowe]

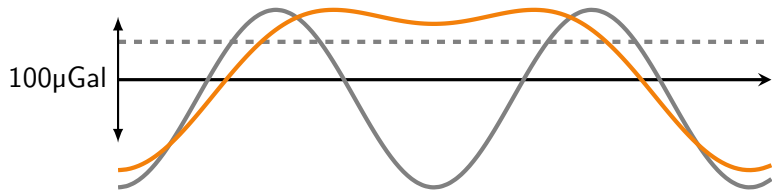
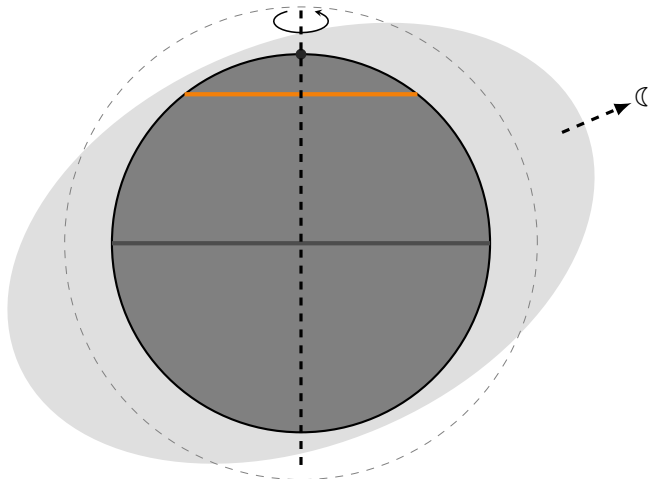


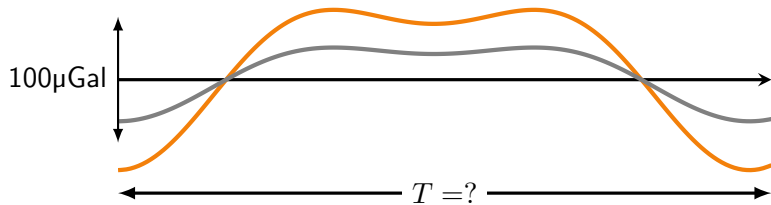
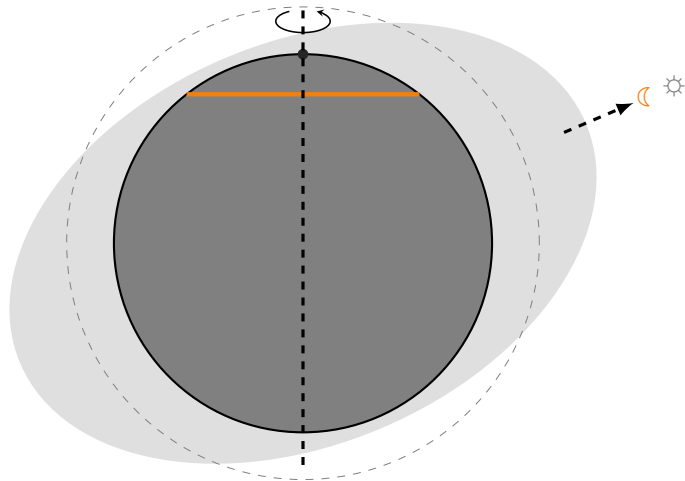


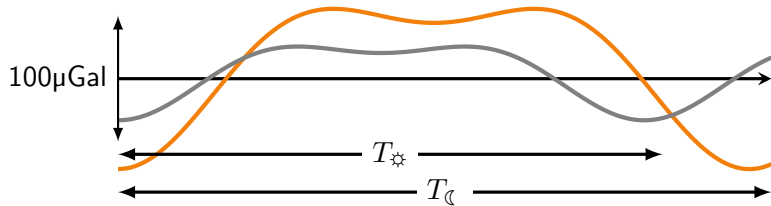
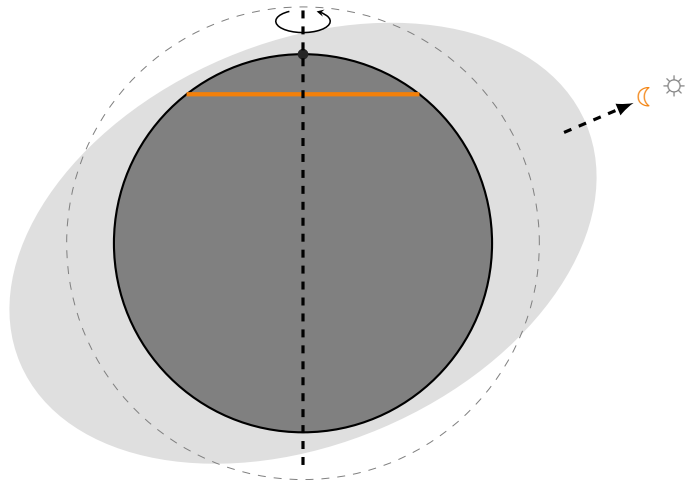


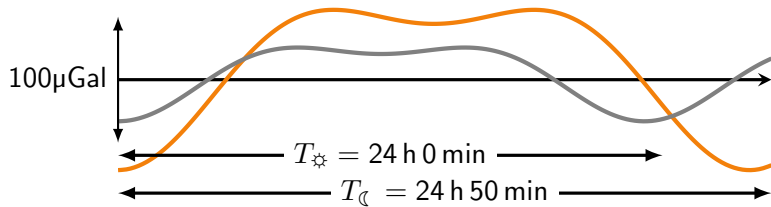
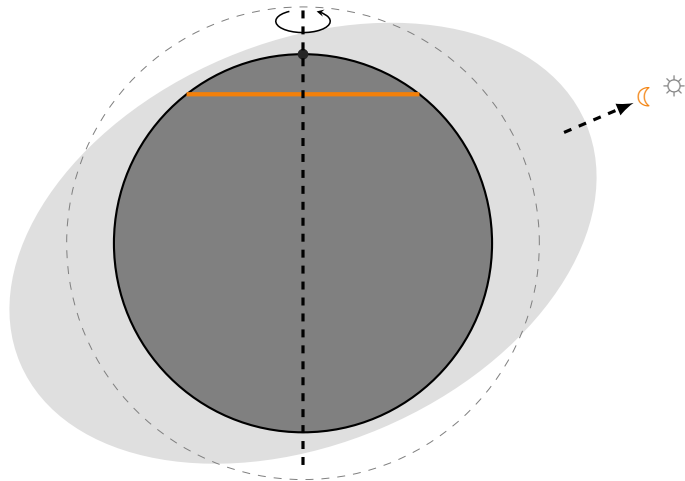












Laplace

$$V = \frac{Gm}{r} \sum_{n=2}^{\infty} \left(\frac{R}{r}\right)^n f(\varphi, \delta, t)$$

Doodson

$$= \sum A(K_{1-6}, R, \varphi) \sin \left\{ (a_1 \dot{\tau} + a_2 \dot{s} + a_3 \dot{h} + a_4 \dot{p} + a_5 \dot{N}' + a_6 \dot{p}_s) t \right\}$$

$\dot{\tau}$	24,833	h	średni czas księżycowy
\dot{s}	27,3	d	średnia długość Księżyca
\dot{h}	365,25	d	średnia długość Słońca
\dot{p}	8,8	lat	średnia długość perigeum orbity Księżyca
$-\dot{N}'$	18,6	lat	średnia długość węzła wstępującego orbity Księżyca
\dot{p}_s	20 942	lat	średnia długość perigeum orbity Słońca

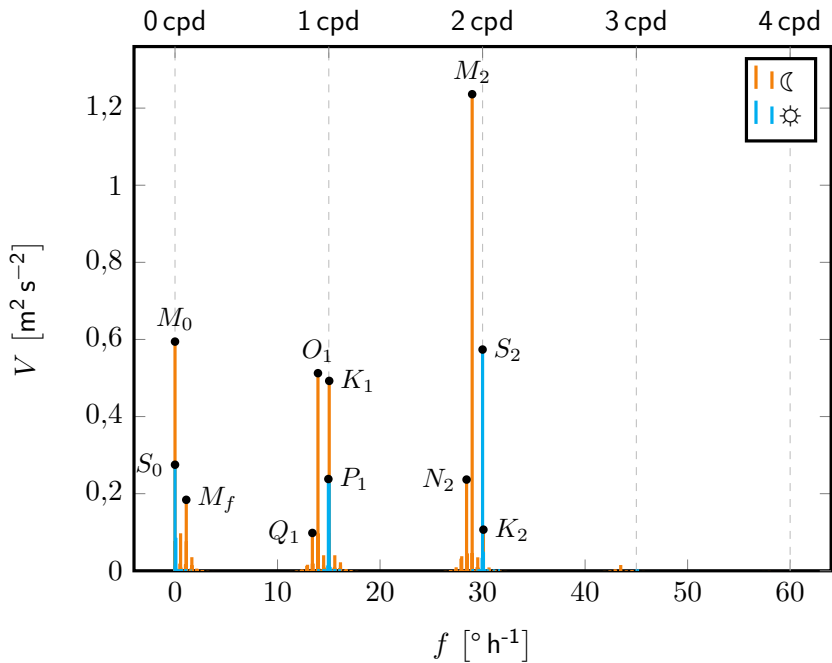
Wykaz 1: fragment katalog potencjału pływowego

2	0	0	0	0	0	0	0.00000000	-8695028819.	0.	MOSO
4	0	0	0	0	0	0	0.00000000	395037.	0.	
2	0	0	0	0	1	0	0.00220641	771912590.	0.	
4	0	0	0	0	1	0	0.00220641	-307251.	0.	
3	0	0	0	1	-1	0	0.00243541	0.	267094.	
2	0	0	0	0	2	0	0.00441281	-7537749.	0.	
3	0	0	0	1	0	0	0.00464181	0.	-5631229.	
3	0	0	0	1	1	0	0.00684822	0.	-868055.	
2	0	0	0	2	1	0	0.01149003	1177773.	0.	
2	0	0	1	0	-1	-1	0.03886027	-1177773.	0.	
2	0	0	1	0	0	-1	0.04106668	-136150588.	0.	SA
2	0	0	1	0	0	1	0.04107060	7066640.	0.	
2	0	0	1	0	1	-1	0.04327309	1177773.	0.	
2	0	0	2	-2	-1	0	0.07064725	588887.	0.	
2	0	0	2	-2	0	0	0.07285365	-8597745.	0.	
2	0	0	2	-2	1	0	0.07506006	706664.	0.	
3	0	0	2	-1	0	0	0.07749547	0.	-1068375.	
2	0	0	2	0	0	-2	0.08213336	-3179988.	0.	
2	0	0	2	0	0	0	0.08213728	-856594487.	0.	SSA
2	0	0	2	0	1	0	0.08434369	21435473.	0.	
2	0	0	2	0	2	0	0.08655009	47111093.	0.	
2	0	0	3	0	0	-1	0.12320396	-49937586.	0.	STA
2	0	0	3	0	1	-1	0.12541037	942219.	0.	
2	0	0	4	0	0	-2	0.16427064	-2002215.	0.	
2	0	1	0	-1	1	0	0.54658111	63128646.	0.	
3	0	1	0	0	-1	0	0.54681011	0.	5364135.	
2	0	3	-1	-1	0	1	1.60134107	-3651097.	0.	
3	2	4	0	-1	0	0	31.17552851	0.	1148504.	

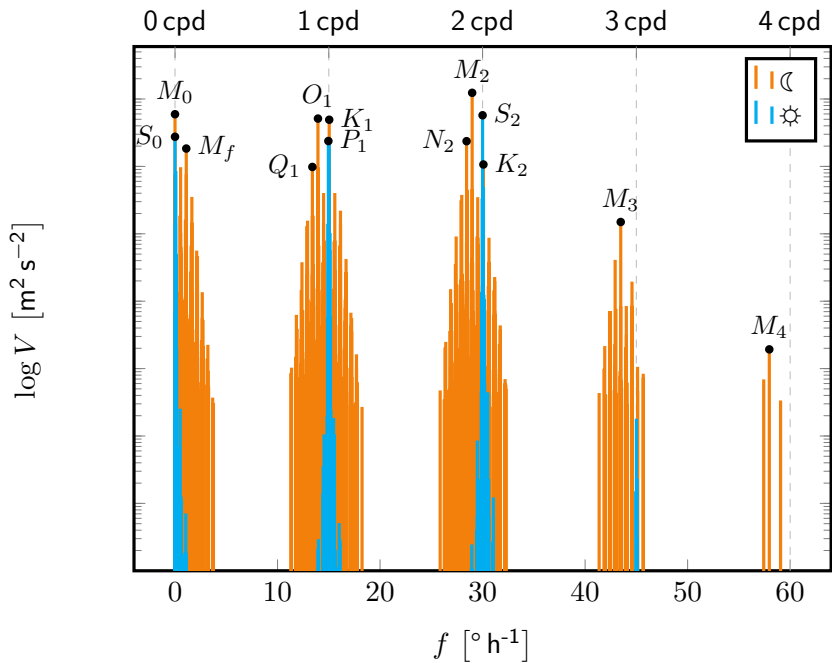
Symbol	Okres	Pochodzenie
Pływy długookresowe		
M_0		Stały pływ księżycowy
S_0		Stały pływ słoneczny
S_a	365.25^d	Pływ eliptyczny S_0
S_{sa}	182.62^d	Pływ deklinacyjny S_0
M_m	27.55^d	Pływ eliptyczny M_0
M_f	13.66^d	Pływ deklinacyjny M_0
Pływy dobowe		
O_1	25^h49^m	Główna fala księżycowa
P_1	24^h04^m	Główna fala słoneczna
K_1	23^h56^m	Fala deklinacyjna k-s
Pływy pół-dobowe		
N_2	12^h39^m	Pływ eliptyczny M_2
M_2	12^h25^m	Główna fala księżycowa
S_2	12^h00^m	Główna fala słoneczna
Pływy ter-dobowe		
M_3	8^h17^m	Główna fala księżycowa

... i wiele, wiele innych...

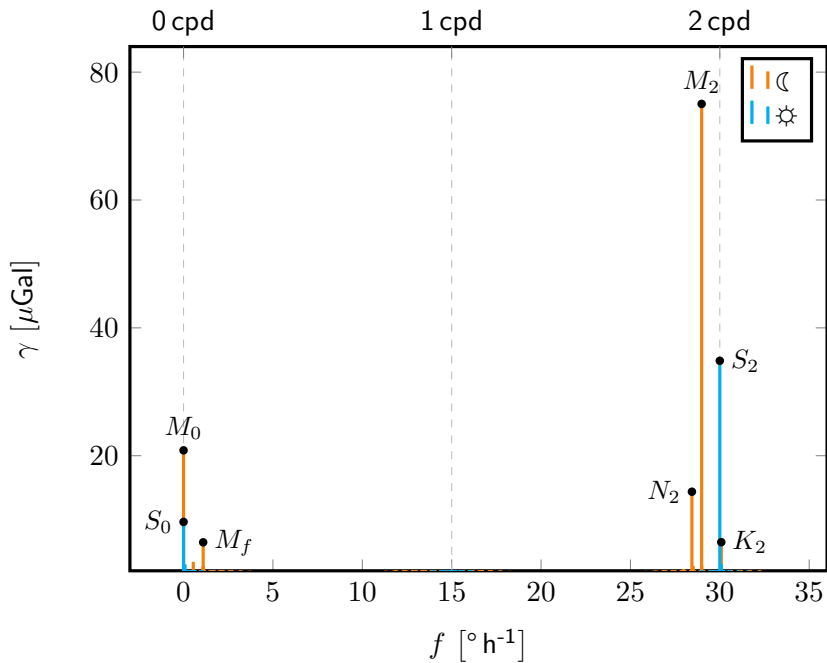
Fale pływowe



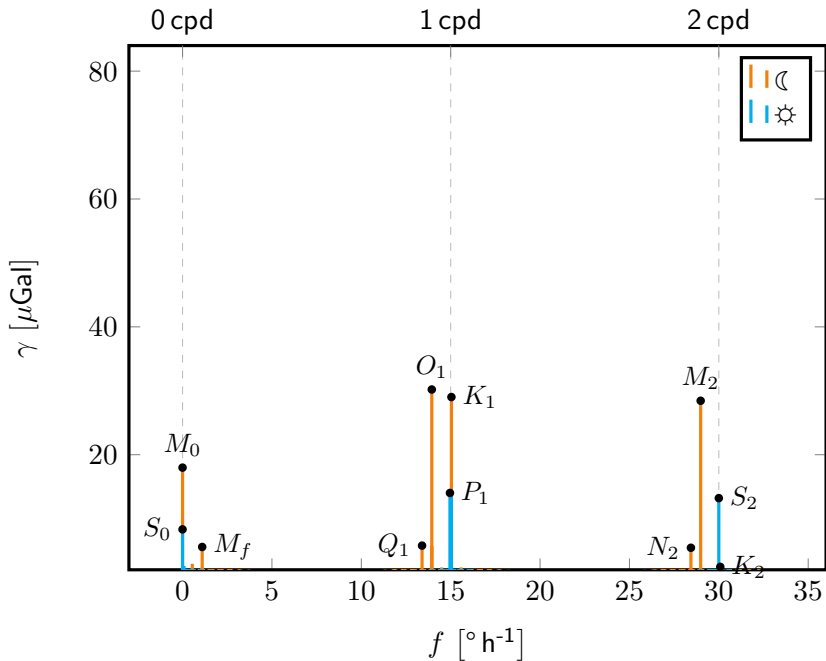
Fale pływowe



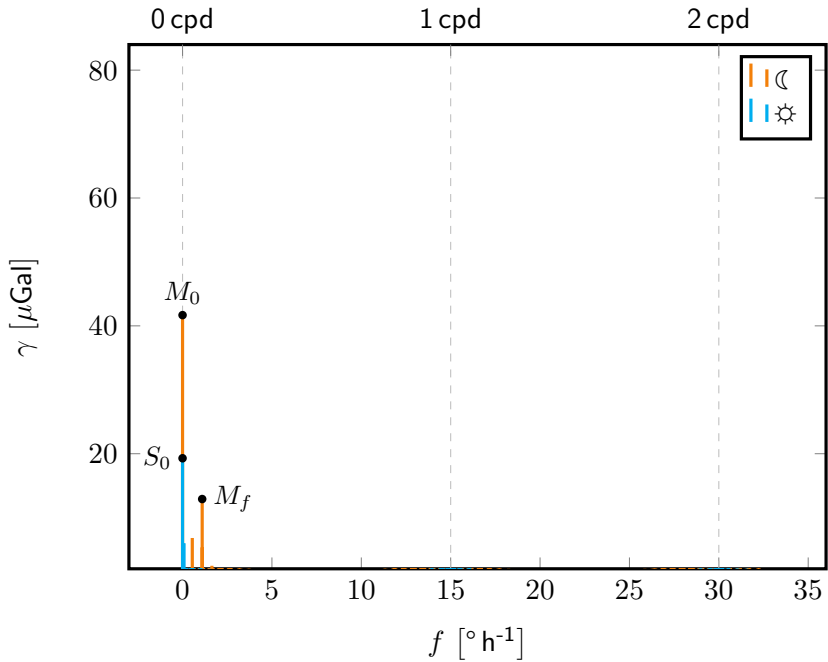
Fale pływowe - $\varphi = 0^\circ$



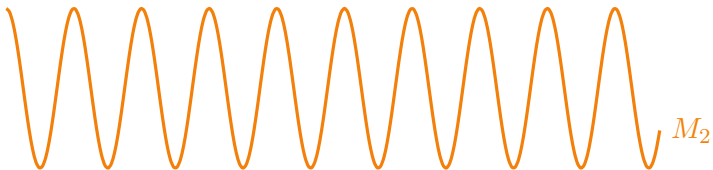
Fale pływowe – $\varphi = 52^\circ$



Fale pływowe – $\varphi = 90^\circ$



— M_2



← 5 d →

————— S_2

